



بررسی کاربرد مدل SRM در شبیه‌سازی رواناب حاصل از ذوب برف با استفاده از داده‌های ماهواره‌ای در حوزه‌های بدون آمار برف
(مطالعه موردی حوزه خرسان در کارون)

Application of SRM model in Snowmelt Runoff Simulation Using NOAA AVHRR Images in Ungaged Basins

(Case Study: Khersan sub-basin, Karoon)

Jahangir Porhemmat¹, Bahram Saghfian²,
Hossain Sedghi³,

Abstract

In mountain regions, snowmelt runoff is a key hydrologic component that controls flow regime. In such regions, it is usually impossible to sufficiently measure the climatic and hydrologic data in the spatial and temporal scale required for the simulation of uncertainty. Therefore, predicting snowmelt runoff is carried out with some unknown degree of uncertainty. When calibrated, Snowmelt Runoff Model (SRM) is a hydrologic model, capable of simulating daily discharge in case of minimum measured snow data. The SRM is applied in order to study the capability of this model in simulating the snowmelt runoff in a basin in Iran, which lacks sufficient data. Khersan a sub-basin of Karoon river, is considered for this case study. An Advanced Very High Resolution Radiometer (AVHRR) data is also considered to determine the time series of snow-covered areas. The time-series of daily discharge in 1996 are used for model calibration. Accuracy of the parameters is evaluated based on the time series of daily discharge in 1997. Model accuracy in snowmelt and rainfall runoff simulation is 88% based on evaluation results. The determination coefficient R^2 is 0.774. The difference between the simulated and measured total discharge is 1% for the study period. Based on the results of this research, SRM can be considered as an effective tool to estimate the snowmelt runoff and the quantity of rain and snow contributions. The application of this model is recommended for basins with no measured data.

Keywords: SRM Model, Snowmelt, NOAA images, Simulation, Model Accuracy

جهانگیر پرهمت^۱, بهرام تقیان^۲ و حسین صدقی^۳

چکیده: ذوب برف و رواناب حاصل از آن در حوزه‌های کوهستانی و مرتفع عامل مهم و کنترل کننده رژیم جریان محسوب می‌شوند. بعلاوه، در چنین حوزه‌هایی آمار و اطلاعات هواشناسی و هیدرولوژی موردنیاز در شبیه‌سازی جریان، به ویژه آمار و اطلاعات برفسنجی عموماً در دسترس نیست. تاکنون این، شبیه‌سازی و یا پیش‌بینی رواناب و سیلان حاصل از ذوب برف با مشکلات فراوانی مواجه شده و بطور معمول با خطای زیادی روبرو می‌شود. مدل SRM (Runoff Model) از جمله مدل‌های هیدرولوژیکی است که در صورت واستجوابی پارامترهای آن، قابلیت شبیه‌سازی جریان روزانه را بدون استفاده از اطلاعات زمینی برفسنجی دارد. به منظور بررسی این قابلیت در حوزه‌های ایران که با کمود داده‌های زمینی برفسنجی مواجه هستند، مدل SRM مورد بررسی قرار گرفته است. بدین منظور سرشاخه‌های حوزه کارون که آمار و اطلاعات برفسنجی در دسترس نیست در محدوده زیر حوزه خرسان برای این تحقیق انتخاب شد. همچنین، اطلاعات رقومی سنجنده ماهواره نوا به عنوان منبع تأمین اطلاعات سری زمانی مساحت تحت بوشش برف استفاده شد. به منظور واسنجی و ارزیابی مدل دو سال آبی ۱۳۷۵-۷۶ و ۱۳۷۶-۷۷ انتخاب و براساس داده‌های مشاهده‌ای دنی روزانه در سال ۷۶-۷۵ پارامترهای مدل واسنجی و تبیین و در سال ۷۷-۷۶ دقت شبیه‌سازی مدل مورد ارزیابی قرار گرفت. ارزیابی مدل در شبیه‌سازی رواناب حاصل از ذوب برف و نیز مشارکت باران نشان می‌دهد که دنبی روزانه با دقت ۸۸ درصد با ضریب تعیین (R^2) ۰.۷۷۴ و حجم کل جریان با ۱/۰۳ درصد اختلاف با حجم مشاهده‌ای در طول این مدت برآورده شده است. با این وصف مدل SRM با استفاده از داده‌های ماهواره‌ای کارایی لازم را در برآورد رواناب حاصل از ذوب برف و نیز شرایط مشارکت باران و برف در حوزه‌های فاقه آمار دارا بوده و برای این حوزه‌ها توصیه می‌شود.

واژه‌های کلیدی: مدل SRM، ذوب برف، تصاویر ماهواره‌ای نوا، شبیه‌سازی، کارون

¹Research Assistant Professor Soil Conservation and Watershed Management Research Institute (SCWMRI) of Iran, porhemmat@scwmri.ac.ir

²Research Assistant Professor SCWMRI of Iran, saghfian@scwmri.ac.ir

³Professor, Ahwaz University, Iran, hsedigh@yahoo.com

^۱ استادیار پژوهشی و عضویت علمی پژوهشکده حفاظت خاک و آبخیزداری کشور، تهران، ایران

^۲ دانشیار پژوهشی و عضویت علمی پژوهشکده حفاظت خاک و آبخیزداری کشور، تهران، ایران

^۳ استاد دانشگاه شهید چمران اهواز، اهواز، ایران

۱- مقدمه

همچنین [] (1993) مدل Siedel et al. را برای پیش‌بینی جریان مسورد استفاده قرار دادند. (1998) Mitchel & Dewalle با بکارگیری سطح تحت پوشش برف از سنجش از دور و نیز منطقه‌بندی منظره‌ای چند پارامتری در حوزه توانداکریک کاربرد مدل SRM را توصیه کردند. همچنین، ایشان نتیجه‌گیری کردند در صورتی که علاوه بر ارتفاع، کاربری اراضی نیز به عنوان یک پارامتر در منطقه‌بندی ارتفاعی لحاظ شود، دقت برآوردهای مدل بهبود می‌یابد.

Gomez-Landesa and Rango (2001) با استفاده از داده‌های سنجش از دور و بکارگیری مدل SRM برای پیش‌بینی رواناب در ۴۲ حوزه در اسپانیا نتیجه‌گیری کردند که خطای مدل در پیش‌بینی حجمی در حوزه‌های مختلف بین $6/6$ تا $25/3$ درصد خطا را در حوزه‌های مختلف نشان می‌دهد. (2001) Baumgartner et al. مدل SRM را با استفاده از پوشش برفی حاصل از تصاویر ماهواره‌ای سنجنده AVHRR (Advanced Very High Resolution Radiometer) برای حوزه‌های ازبکستان بکار گرفتند. در این تحقیق همبستگی دبی روزانه مشاهده‌ای با شبیه‌سازی دارای ضریب برآش $77/4$ تا $97/0$ و اختلاف حجمی ۱ تا $9/6$ درصد گزارش شد. همچنین (2001) Sorman et al. مدل SRM را در حوزه‌های دجله و فرات با استفاده از سنجش از دور پوشش برفی بکار گرفته و نتیجه‌گیری کردند که در این شرایط مدل با درصد اختلاف و درجه برآش به ترتیب $25/0$ تا $47/2$ درصد و $93/0$ تا $95/0$ درجه و دبی را برآورد می‌کند.

در تحقیق حاضر، واسنجی و ارزیابی مدل SRM برای پیش‌بینی جریان روزانه که بطور غالب به وسیله ذوب برف کنترل می‌شود و نیز رواناب ناشی از بارش باران در تولید آن مؤثر بود در حوزه خرسان از سر شاخه‌های رودخانه کارون برای اولین بار بکار گرفته می‌شود.

۲- روش تحقیق ۲-۱ معرفی منطقه تحقیق

زیر حوزه خرسان که بخشی از حوزه کارون واقع در جنوب غربی ایران است به عنوان منطقه تحقیق انتخاب شده است. این منطقه در حدفاصل ۵۰ درجه و 23° دقیقه تا 51° درجه و 54° دقیقه طول شرقی و 30° درجه و 16° دقیقه تا 31° درجه و 32° دقیقه عرض شمالی واقع شده است. شکل (۱) موقعیت این منطقه را در نقشه حوزه‌های اصلی ایران و در حوزه کارون نشان می‌دهد. حوزه خرسان از ارتفاع 4429 متری در قله دنا (بلندترین نقطه زاگرس ایران) شروع و به ارتفاع 850 متری در ایستگاه هیدرومتری بازختم می‌شود. ویژگی‌های فیزیوگرافی حوزه بر اساس نقشه مدل ارتفاعی رقومی حاصل از درون‌یابی خطوط میزان ارتفاعی 100 متری نقشه‌های توپوگرافی با مقیاس $1:25000$ استخراج شد. جدول (۱) مشخصه‌های اصلی فیزیوگرافی حوزه خرسان و زیر حوزه‌های آن و شکل (۲) منحنی

در حوزه‌های کوهستانی و مرتفع، ذوب برف و رواناب حاصل سهم عمده‌ای را در تولید جریان و منابع آب داراست. در کشور ایران تجمع و ذوب برف هیدرولوژی بسیاری از حوزه‌های اصلی کشور از جمله کارون، دز، کرج، سفیدرود و کرخه را کنترل می‌کند. از طرفی شبیه‌سازی و پیش‌بینی رواناب ذوب برف در عرصه‌های مختلفی کاربرد داشته که از جمله آنها تأمین آب شرب، کشاورزی و صنعت، کنترل و هشدار سیل، تفرجگاه‌ها، مدیریت مخازن تولید برق و کشتیرانی را می‌توان نام برد [Bloschl et al (1991)] [US Army Corp of Engineer (1990)] [Moussavi et al (1990)] با وجود این داده‌های برف‌سنگی مورد نیاز در شبیه‌سازی جریان‌های حاصل از ذوب برف و یا مشارکت با ران و برف در بسیاری از حوزه‌های آبریز به ویژه حوزه‌های کوهستانی مرفق در دسترس قرار نمی‌گیرد.

مدل Snowmelt Runoff Model (SRM) از جمله مدل‌های هیدرولوژیکی است که به منظور شبیه‌سازی و پیش‌بینی جریان روزانه در حوزه‌های کوهستانی متأثر از ذوب برف طراحی شده است. این مدل برای اولین بار در سال ۱۹۷۵ میلادی برای حوزه‌های کوچک اروپا توسط Martinec توسعه یافت و با پیشرفت تکنیک‌های ماهواره‌ای و کاربرد آنها در تعیین پوشش برفی برای حوزه‌های بزرگتر تا 120 هزار کیلومتر مربع مورد استفاده قرار گرفت.

مدل SRM توسط سازمان هواشناسی جهانی (WMO¹) برای شبیه‌سازی رواناب و نیز پیش‌بینی در زمان واقعی مورد تأیید قرار گرفته است [(1986) WMO]. این مدل برای سه هدف متفاوت کاربرد دارد. این سه هدف شامل شبیه‌سازی جریان روزانه در فصل ذوب برف و یا در سال، پیش‌بینی رواناب فصلی و نیز ارزیابی پتانسیل تأثیر تغییرهای اقلیمی بر رواناب و سطح تحت پوشش برف فصلی است [Rango and Martinec (1998)]

مدل SRM برای پیش‌بینی رواناب ذوب برف توسط محققان بسیاری بکار برده شده است [(1991) Engman et al.], [برهمت و همکاران (۲۰۰۲)], [(1993) Rango, Martinec (1986) [Paul et al.] (1993) [Rango (1983)] (1986)]. دامنه تغییرات پارامترهای مدل SRM را مورد بررسی قرار دادند و روابط فیزیکی مورد نیاز در محاسبه این پارامترها را ارائه کردند. (1990) Rango & Katwijk مدل SRM را با بکارگیری یک سری منحنی‌های افت پوشش برفی برای پیش‌بینی مورد استفاده قرار دادند. در این تحقیق ادعا شده است که مدل SRM هیدروگراف جریان را با ضریب برآش (R^2) معادل $92/0$ و تفاضل حجمی $5/2$ درصد پیش‌بینی کرده است.

(1991) Baumgartner and Rango (1991) مدل SRM را با استفاده از داده‌های سنجش از دور برای برآورد سطح تحت پوشش برف توصیه کردند

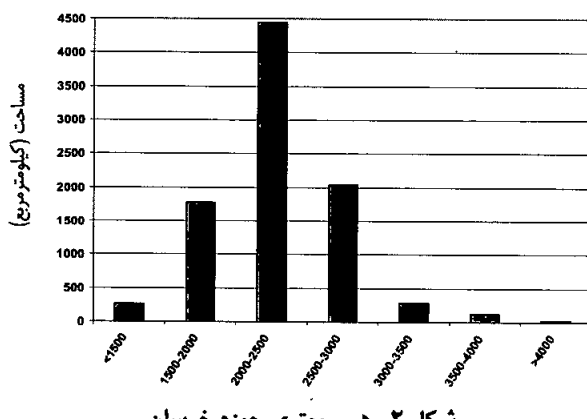
سپس هیدروگراف روزانه کل جریان در خروجی حوزه را برآورد می کند. حداقل متغیرهای هواشناسی ورودی مدل شامل سطح تحت پوشش برف، بارندگی و درجه حرارت است [Rango(1983)]. رابطه اصلی مدل بصورت زیر است:

$$Q_{n+1} = [C_{sn} \cdot a_n (T_n + \Delta T_n) S_n + C_{Rn} P_n] \times \frac{10000A}{86400} (1 - K_{n+1}) + Q_n K_{n+1} \quad (1)$$

در این رابطه Q دبی روزانه به متر مکعب بر ثانیه، C_{sn} ضریب رواناب برف به صورت کسری از واحد، C_{Rn} ضریب رواناب باران به صورت کسری از واحد، a فاکتور درجه روز بر حسب سانتیمتر بر درجه سانتیگراد در روز، T تعداد درجه روز بر حسب درجه سانتیگراد، ΔT تفاضل درجه حرارت در ایستگاه مبدأ با درجه حرارت در محل متناظر با متوسط ارتفاع حوزه یا

جدول ۱- پارامترهای فیزیوگرافی حوزه خرسان در باز و زیر حوزه‌های اصلی آن

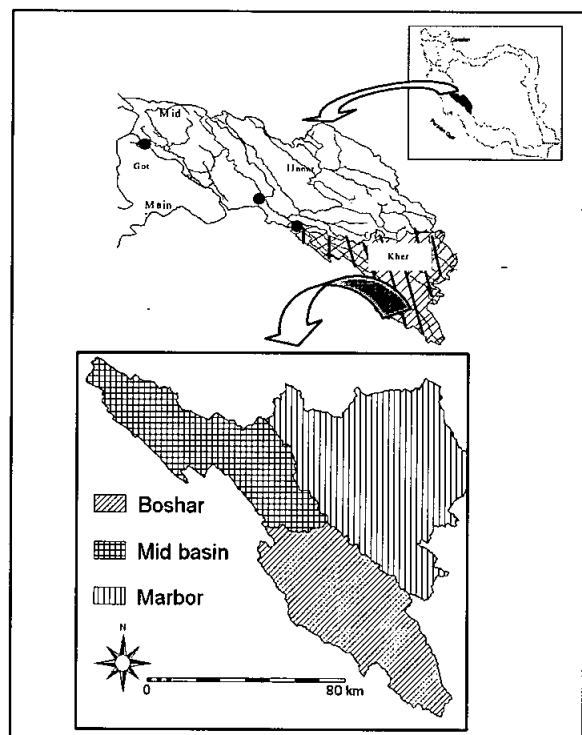
کل حوزه	پاتاوه	پشار در	زیر حوزه میانی	ماربر در کتا	محدوده
۸۹۶۴	۲۷۷۲		۲۱۹۷	۴۰۳۴	(km ²)
۶۸۲	۲۹۳		۳۰۳	۳۶۶	(km)
۲۵۰	۱۱۵		۱۱۸	۸۹	(km)
۱۱۸	۶۹		۵۴	۴۹	طول مرکز نقل تا خروجی (km)
۰/۹۲	۲/۶۵		۲/۹	۲/۳۶	شیب آبراهه اصلی (%)



شکل ۲- هیپسومتری حوزه خرسان

متوسط ارتفاع نوار ارتفاعی بر حسب درجه سانتی گراد S نسبت مساحت بخش پوشیده از برف به کل مساحت حوزه، P بارندگی بر حسب سانتیمتر، n نمایانگر دو روز متوالی، A مساحت حوزه بر حسب کیلومترمربع، K ضریب فروکش که نشان دهنده نرخ کاهش دبی دریک دوره زمانی بدون تأثیر ذوب برف و یا بارش باران است، مقدار K از رابطه زیر بدست می آید:

هیپسومتری این حوزه را نشان می دهد. همچنین، شکل (۱) موقعیت زیرحوزه های آن شامل پشار در پاتاوه، ماربر در کتا و زیر حوزه میانی حدفاصل این دو حوزه تا خروجی خرسان در باز را نشان می دهد. حوزه کارون در خرسان دارای مساحتی حدود ۸۹۶۴ کیلومترمربع بوده که ۳۷ درصد کل حوزه کارون را در پل شالو و ۲۷۷۶ درصد آن را در گتوند تشکیل می دهد(شکل ۱). همچنین، جدول (۲) مقادیر متوسط دراز مدت پارامترهای اصلی هیدرومترولوژیک شامل دبی جریان، بارندگی و درجه حرارت را در حوزه خرسان و زیرحوزه های اصلی کارون نشان می دهد. همانطور که این جدول نشان می دهد متوسط بارندگی در سطح حوزه خرسان ۶۷۹ میلیمتر، متوسط دبی جریان خروجی از حوزه ۱۳۲ مترمکعب در ثانیه و متوسط درجه حرارت سالانه در سطح حوزه ۱۱ درجه سانتیگراد است. همچنین، دبی سالانه این حوزه ۳۱ درصد کل دبی کارون در گتوند و ۳ درصد کل جریان های سطحی کشور است.



شکل ۱- موقعیت زیرحوزه های خرسان در نقشه حوزه های اصلی کشور و در حوزه کارون

۲-۲- مدل مورد استفاده

مدل SRM از نوع مفهومی است و بر اساس روش درجه- روز رواناب ناشی از ذوب برف را محاسبه می کند. این مدل رواناب ناشی از ذوب برف و بارش باران را بطور روزانه و همزمان محاسبه و به دبی جریان فروکش (دبی پایه) اضافه کند. همچنین، در مدل رواناب بدست آمده با یک ضریب انتقال به حوزه منتقل و با دبی پایه شبیه سازی شده برای آن روز جمع و

و واسنجی پارامترهای مدل و سال دوم برای ارزیابی پارامترهای واسنجی شده یا برآورده برای مدل انتخاب شده‌اند. در این دو سال مدل برای جریان روزانه خروجی از حوزه بکار گرفته شده است.

۳- نتایج و بحث

۳-۱- واسنجی پارامترهای مدل

به منظور استفاده از مدل SRM حوزه خرسان به ۷ ناحیه ارتقائی مطابق شکل(۴) تقسیم شد، سپس پارامترهای مدل بر اساس این منطقه‌بندی برآورد و یا واسنجی شدند. ضریب رواناب برف به دلیل کمبود داده‌های مشاهده‌ای زیینی به ویژه ناکافی بوند داده‌ها در ارتقائات به صورت سعی و خطا واسنجی شد. از طرف دیگر، تغییرهای ضریب جریان برای رواناب مدل SRM بطور روزانه مورد نیاز است. بدین منظور تعداد ۲۷ واقعه بارش‌های مهم در طول سال آبی ۷۵-۷۶ انتخاب شد. برای هر یک از واقعه مؤلفه‌های مختلف بارش و رواناب شامل سطح تحت پوشش باران و برف، کل بارش، میزان بارش باران، ذوب برف و رواناب محاسبه می‌شد. سطح تحت پوشش باران و یا برف براساس گرادیان درجه حرارت و برف‌انباشته قدیمی، کل بارش بر اساس تحلیل بارش نقطه‌ای ایستگاه‌ها و تهیه همباران و نیز ذوب برف بر اساس سطح برف انباشته و درجه حرارت برآورد شد.

همچنین، مؤلفه‌های جریان روزانه براساس تفکیک هیدروگراف برآورده شد که نتایج در شکل(۵) نشان داده است. از ۲۷ واقعه بارش در این سال تنها در ۱۲ واقعه سیلاپ شکل گرفته است در حالی که در ۱۵ واقعه دیگر با وجود اینکه تا ۲۴/۴ میلیمتر باران در حوزه ثبت شده، ولی سیلاپ بوجود نیامده است.

ارزیابی تلفات بارش با استفاده از روش SCS مبتنی بر شماره منحنی یا CN (Curve Number) انجام گرفت. در این تحقیق برای رابطه عمق سیلاپ (بارش مازاد) با کل باران پس از تحلیل وقایع فوق نتیجه زیر بدست آمد که نشان دهنده تلفات اولیه(10) که در رابطه اصلی SCS در صورت کسر به عنوان ضریب ثابت S و معادل ۰/۲ است، تغییر کرده و در واسنجی برای این منطقه ۰/۰۷ بدست آمده است.

$$Q = \frac{(P - 0.07 S)^2}{(P + 0.93 S)} \quad (3)$$

در این فرمول Q عمق رواناب و P بارش و بر حسب اینچ و از رابطه زیر محاسبه می‌شود:

$$S = \frac{1000}{CN} - 10 \quad (4)$$

$$K = \frac{Q_{n+1}}{Q_n} \quad (2)$$

در آن Q و Q_{n+1} مشابه قبل و K ضریب فروکش است. اگر زمان تأخیر (زمان بین تولید جریان مازاد و خروج آن از حوزه) ۱۸ ساعت باشد درجه روز اندازه‌گیری شده در روز n به دبی اندازه‌گیری شده در روز $n+1$ مربوط می‌شود. در این شرایط تعداد درجه-روز، روز $n+1$ مطابق با دبی روز ۱۱۵۷/۰ می‌شود. علاوه بر این در رابطه فوق ضرایب ثابت که متعادل ۰/۱۱۵۷ هستند. پارامترهای مدل SRM شامل ضریب رواناب برف، ضریب رواناب باران، ضریب درجه-روز، شبیب افت درجه حرارت با ارتقائ، درجه حرارت بحرانی (درجه حرارتی که در بالای آن بارش به صورت باران و کمتر از آن به صورت برف است)، ضریب فروکش جریان و زمان تأخیر است. در مدل با فرض اینکه این پارامترها بر اساس شرایط فیزیکی تعیین می‌شوند، برنامه‌ای برای بهینه کردن و یا تعیین آنها پیش‌بینی نشده است. بنابراین، بایستی پارامترهای مدل را از قبل بر اساس داده‌های مشابه ای هواشناسی، هیدرومتری و فیزیکی حوزه برآورد و سپس به عنوان ورودی به مدل وارد کرد. سایر پارامترهای مورد نیاز در مدل SRM سطح دریافت کننده باران است که بر اساس تحلیل منطقه‌ای درجه حرارت و شبیه‌سازی رواناب حاصل از ذوب برف و باران را با استفاده از مدل SRM نشان می‌دهد.

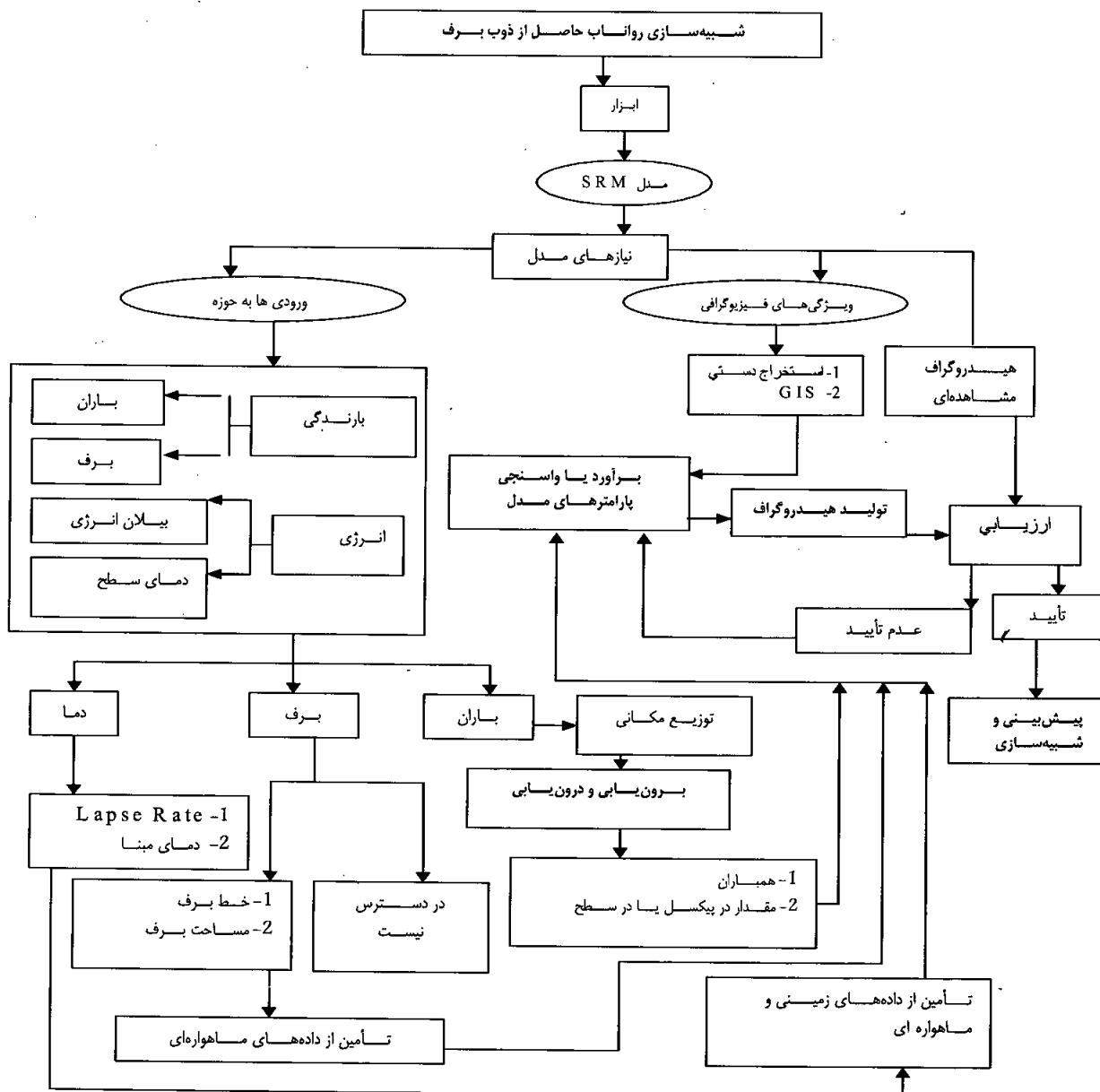
مدل SRM نسخه WINSRM.1 قابلیت نمایش همزمان هیدروگراف رواناب محاسبه شده و اندازه‌گیری شده را دارد. بنابراین، با کنترل چشمی می‌توان کیفیت شبیه‌سازی را برآورد کرد. علاوه براین، مدل برای ارزیابی نتایج محاسبات دو معیار ضریب تعیین (R^2) و تفاضل حجمی (D) را در اختیار قرار می‌دهد [Rango and Martinec (1998)]. شکل (۳) الگوریتم مدل شبیه‌سازی رواناب حاصل از ذوب برف و باران را با استفاده از مدل SRM نشان می‌دهد.

۳-۲- داده‌های مورد استفاده در تحقیق
داده‌های مورد استفاده در این تحقیق شامل سری زمانی روزانه مساحت، پوشش برفی، بارندگی، متوسط درجه حرارت روزانه در سطح حوزه، دبی روزانه جریان در خروجی حوزه و مشخصات فیزیکی حوزه است.

جدول (۱) مشخصات فیزیکی حوزه را که بر اساس نقشه‌های توپوگرافی ۱:۲۵۰۰۰۰ سازمان جغرافیایی نیروهای مسلح جمهوری اسلامی تهییه شده آن، نشان می‌دهد. مساحت پوشش برفی از تصاویر سنجنده AVHRR ماهواره‌ای نوآ (NOAA) تهییه شده اند [پرهمت و همکاران، ۲۰۰۲]. همچنین، بارندگی و درجه حرارت به ترتیب از آمار روزانه اندازه‌گیری شده این عوامل در ایستگاه‌های باران‌سنگی و سینوپتیک استفاده شده است [پرهمت، ۲۰۰۲]. دوره زمانی مورد استفاده در این تحقیق دو سال آبی شامل سال‌های ۱۳۷۶-۱۳۷۵ و ۱۳۷۷-۱۳۷۶ است. سال اول برای بررسی

جدول ۲- مشخصه های مهم هیدرومترورولوژیکی حوزه خرسان و مقایسه با سایر زیر حوزه های اصلی کارون

حوزه	بارندگی (mm)	دیب (m ³ /sec)	درجه حرارت (°C)	درصد دبی از گتوند	درصد دبی از کارون در پل شالو	درصد دبی از جریان سطحی کشور
کارون در گتوند	۷۳۱	۲۹۲	-	۱۰۰	۱۲۸	۱۱/۵
کارون در پل شالو	۷۰۵	۳۰۵	۱۱	۷۷/۸	۱۰۰	۹/۱
خرسان در بارز	۶۸۰	۱۳۲	۱۱	۲۲۷/۷	۲۷/۱	۷/۴
کارون در ارمند	۶۵۳	۱۱۱	۱۰	۲۸/۳	۳۱	۲/۸
باخت در مرغک	۱۲۶۰	۷۹	۱۲	۲۰/۲	۲۲/۲	۲



شکل ۳- الگوریتم شیله-سازی رواناب حاصل از ذوب برف و باران در مدل SRM

رطوبتی پیشین برای CN برآورده نیز تعیین شد که نتایج در جدول (۳) قابل ملاحظه است.

جدول ۳- مقادیر CN نهایی در شرایط سه گانه رطوبتی پیشنهادی SCS برای محدوده های هفت گانه حوزه خرسان

ناحیه ارتفاعی	روطوبتی متوسط	روطوبتی مرطوب	CN شرایط رطوبتی خشک
۱	۴۴	۶۴	۲۴
۲ و ۱	۴۰	۶۰	۲۱
۴ و ۳، ۲، ۱	۴۲	۵۳/۵	۲۵
۵، ۴، ۳، ۲، ۱	۴۰	۵۳/۵	۲۲
۷ و ۶			

ضریب درجه روز در مدل SRM با واحد سانتیمتر در درجه سانتیگراد در روز، تعداد درجه روز (سانتیگراد در روز) را به عمق آب روزانه ذوب برف (سانتیمتر) تبدیل می کند. بنابراین:

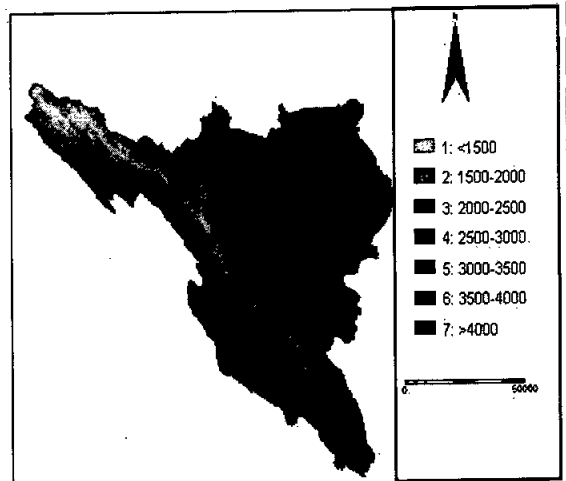
$$M = a(T - T_b) \quad (5)$$

در این حالت M عمق آب حاصل از ذوب برف و T درجه روز به سانتیگراد، T_b درجه حرارت مبنای ذوب برف و صفر درجه سانتیگراد یا ۳۲ درجه فارنهایت فرض می شود. این پارامتر در مدل SRM صفراست. همچنین، a ضریب درجه روز است. ضریب درجه روز بر اساس اندازه گیری تغییرهای برف انباشته توسط لیسیمتر، یا بالشتک برف و یا اشل برف سنج و درجه حرارت روزانه بدست می آید. این پارامتر معمولاً در طول فصل ذوب برف تغییرمی کند و به تدریج طول فصل ذوب برف تغییر می کند و به تدریج از اوایل فصل ذوب برف افزایش می یابد [Bloschl and Gutzknecht(1991)]. بعلاوه در صورتی که دانسیته برف در دسترس باشد ضریب درجه روز از رابطه زیر پیشنهاد شد [Rango and Martinec(1998)], [Martinec and Rango(1986)]

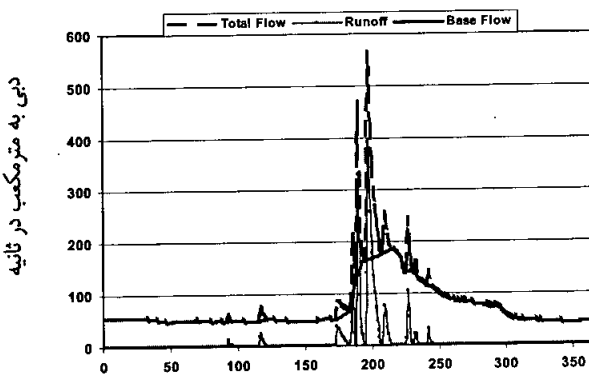
$$a = 1.1 \frac{\rho_s}{\rho_w} \quad (6)$$

که ρ_s و ρ_w به ترتیب چگالی برف و آب است. با توجه به عدم وجود داده های اندازه گیری شده از درجه حرارت روزانه و ذوب برف در ارتفاع متوسط باندهای ارتفاعی، برآورده این پارامتر از داده های مشاهده ای میسر نشد. در نتیجه، این پارامتر بر اساس توصیه [Martinec and Rango(1986)] به عنوان حدس اولیه به مدل داده شد و سپس با سعی و خطأ و استنجدی شد.

نرخ کاهش درجه حرارت با ارتفاع از اطلاعات روزانه درجه حرارت در ۱۶ استگاه سینوپتیک واقع در حوزه و حوزه های مجاور در سال های آبی ۷۵-۷۶ و ۷۶-۷۷ محاسبه شد. درجه حرارت بحرانی برای تعیین نوع بارش



شکل ۴- موقعیت ۷ ناحیه ارتفاعی حوزه خرسان



شکل ۵- مؤلفه های هیدرولوگراف جریان در بارز در سال آبی ۱۳۷۵-۷۶ به روز
۷۵-۷۶

CN در رابطه (۴) براساس باران، رواناب مشاهده ای و ذوب برف در هر توفان در سال آبی ۱۳۷۵-۷۶ محاسبه شد. در چین شرایطی در هر یک از وقایع بارش سال، رواناب خروجی از حوزه، بارش باران و ذوب برف به نواحی ارتفاعی محدود شده اند که در محاسبات در آن زمان دارای شرایط باران و یا ذوب برف بوده اند. برای این منظور رواناب از جداول هیدرولوگراف جریان مشاهده ای در خروجی حوزه برآورد شد. همچنین، بارش باران از همباران هر توفان و ذوب برف بر اساس گردایان درجه حرارت روزانه و رابطه درجه روز در هر نواحی ارتفاعی محاسبه شدند. جدول (۳) نتایج تحلیل شماره منحنی های SCS و اسننجی شده را در شرایط مختلف رطوبتی برای حوزه خرسان نشان می دهد. لازم بذکر است به دلیل عدم وجود ایستگاه هیدرومتری در خروجی نواحی نواحی ارتفاعی، مقادیر CN برای مجموعه نواحی ای که در تولید رواناب در بارش ها فعال بوده اند مطابق جدول (۳) برآورده شد. همچنین، براساس شرایط بارش و ذوب برف ۵ روز قبل، شرایط

داده‌های دبی بجز در شرایط سیلابی در دوره‌های زمانی کمتر از روزانه در دسترس قرار نگرفت، پس برآورد زمان تأخیر بر اساس داده‌های مشاهده‌ای دبی و درجه حرارت میسر نشد. بر این اساس، با توجه به مرکزیت مناطق مرتفع حوزه و فاصله آن از خروجی زمان تأخیر معادل ۱۸ ساعت در نظر گرفته شده است.

دوره واسنجی مدل SRM همانطور که قبل از ذکر شد شامل سال آبی ۱۳۷۵-۷۶ در حوزه خرسان است. متغیرهای ورودی مدل در این دوره شامل سطح تحت پوشش برف، درجه حرارت ایستگاه مبنی (یاسوج)، نرخ کاهش درجه حرارت با ارتفاع، دبی و بارندگی روزانه است. با توجه به این که داده‌های مشاهده‌ای و اندازه‌گیری شده برای بخش قابل توجهی از عوامل مورد نیاز در منطقه تحقیق در دسترس قرار نداشت، تعدادی از پارامترهای مدل با سعی و خطأ بدست آمدند. در این رابطه پارامترهای مدل که داده‌های مشاهده‌ای کافی برای واسنجی آنها در دسترس نبود، شامل ضریب درجه-روز، ضریب رواناب برف، درجه حرارت بحرانی و زمان تأخیر هستند که با استفاده از دامنه‌های توصیه‌ای در راهنمای مدل SRM و نیز شرایط منطقه‌ای و بعضی از عوامل اندازه‌گیری شده به صورت حدس اولیه برآورد و سپس با سعی و خطأ واسنجی شده‌اند. شکل (۷) نمودار تغییرهای دبی روزانه شبیه‌سازی شده و مشاهده‌ای را نشان می‌آید. همچنین، شکل (۸) نمودار همبستگی دبی شبیه‌سازی شده و دبی مشاهده‌ای را در این دوره نشان می‌آید. مقایسه دبی شبیه‌سازی شده با واسنجی نشان دهنده که محدود ضریب همبستگی (R^2) دبی شبیه‌سازی شده با واسنجی معادل ۰/۹۱ و در صد اختلاف حجمی در کل سال آبی ۱/۳۵ درصد دبی مشاهده‌ای است.

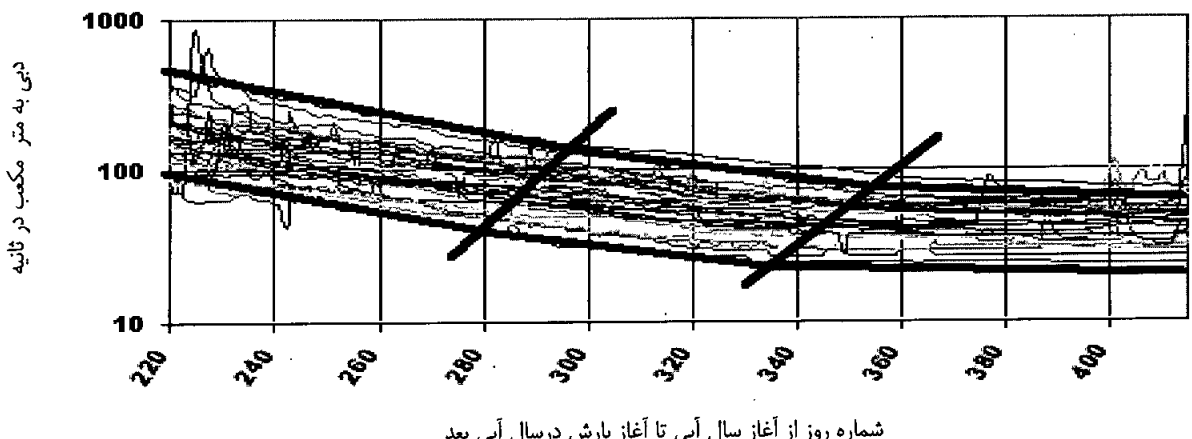
۲-۳-بورسی نتایج ارزیابی
همان طور که قبل از بیان شد دوره ارزیابی مدل SRM در حوزه خرسان سال آبی ۱۳۷۶-۷۷ انتخاب شد. در این سال داده‌های مشاهده‌ای بارندگی، سطح تحت پوشش برف، درجه حرارت متوسط روزانه و نرخ کاهش درجه حرارت به عنوان ورودی‌های روزانه مدل مورد استفاده قرار گرفته و نتایج دبی روزانه شبیه‌سازی شده با دبی مشاهده‌ای در این سال بررسی شدند. شکل (۹) هیدروگراف دبی روزانه شبیه‌سازی شده و مشاهده‌ای را نشان می‌آید. همچنین، شکل (۱۰) نمودار همبستگی دبی روزانه شبیه‌سازی شده و مشاهده‌ای را در این دوره یک ساله نشان می‌دهد. و با بررسی شکل (۹) دبی روزانه هم در دوره‌های سیلابی و هم در دوره‌های غیر سیلابی انتباق خوبی را نشان می‌آید. بیشترین عدم انتباق در زمان اوج سیلابهاست. رابطه همبستگی دبی شبیه‌سازی شده و مشاهده‌ای دارای محدود ضریب همبستگی (R^2) معادل ۰/۷۷ است. بعلاوه اختلاف حجم دبی مشاهده‌ای و شبیه‌سازی شده در طول سال آبی مورد ارزیابی معادل ۱/۰۳ درصد بدست آمده است. همچنین ضریب راندمان مدل معادل ۰/۷۶ برآورد شد.

باران یا برف به کار می‌رود. مدل SRM در هر دو فصل بارش و ذوب به درجه حرارت بحرانی نیاز دارد. تعیین درجه حرارت بحرانی بر اساس داده‌های مشاهده‌ای همزمان نوع بارش و درجه حرارت صورت می‌گیرد. در شرایطی که داده‌های مورد نیاز در دسترس نیست، از مقادیر تجربی سایر مناطق استفاده می‌شود. به عنوان مثال در تحقیقات انجام شده در آلب درجه حرارت بحرانی را از ۳ درجه سانتیگراد در آوریل تا ۰/۷۵ درجه در زوئیه نشان می‌دهد. این محدوده برای استفاده در سایر حوزه‌های که اطلاعات کافی ندارند نیز توصیه شده است. در این تحقیق پارامتر درجه حرارت بحرانی معادل ۰/۷۵ در نظر گرفته شده است. ضریب فروکش (K) پارامتر بسیار مهمی در مدل SRM است، زیرا کسر (1-K) قسمتی از ذوب برف روزانه است که بلافاصله به رواناب تبدیل می‌شود. ضریب فروکش از رابطه زیر بدست می‌آید:

$$(7) K_{n+1} = x Q_n^{-y}$$

در این رابطه پارامترهای x و y از داده‌های تاریخی دبی بدست می‌آیند. به منظور محاسبه پارامترهای فروکش جریان، داده‌های دبی روزانه در ۴۳ سال آبی شامل سال‌های مختلف خشک، تر و متوسط از حوزه خرسان در بارز مورد بررسی قرار گرفتند. از ۴۳ سال هیدروگراف روزانه جریان بخش فروکش جدا شد شکل (۶). همانطور که شکل (۶) نشان می‌دهد، اواسط اردیبهشت تا اوخر آبان دوره دارای تغییر و بقیه سال دوره فروکش جریان است. همچنین این شکل نشان می‌دهد که منحنی فروکش دارای سه بخش است. شب منحنی در بخش اول زیاد و سپس در بخش‌های بعدی کاهش می‌یابد. این سه بخش به ترتیب از اواسط اردیبهشت تا اواسط تیر، از اواسط تیر تا اوخر شهریور و از اوخر شهریور تا اواسط آبان است. پارامترهای x و y براساس توصیه (Rango and Martinec 1998) برای کل دوره فروکش از نسبت دبی‌های روز جاری به روز ماقبل در مقیاس لگاریتمی، به ترتیب ۰/۹۸۴ و ۰/۰۰۷۱ بدست آمد. بر اساس مقادیر پارامترهای x و y بدست آمده دبی دوره فروکش در سال آبی ۱۳۷۵-۷۶ شبیه‌سازی شده است. دبی شبیه‌سازی شده دارای انحراف زیادی از دبی ادامه یافت. با توجه به تغییرات مشاهده شده در شکل (۶) این پارامترها در طول سال ثابت نبوده و بنابراین برخلاف انتظار سه دسته مقادیر برای این دو پارامتر بدست آمد. این سه دسته مقادیر به ترتیب در دوره‌های زمانی مشاهده‌ای بوده و در نتیجه روش سعی و خطأ برای برآورد مقادیر مناسبتر شامل روزهای دارای بارندگی، اوایل فصل ذوب برف تا اوخر این فصل و از اوخر فصل ذوب برف تا اوایل فصل ذوب برف بعدی قرار دارند. مقادیر x به ترتیب برای این دوره‌ها ۰/۹۸، ۰/۹۹۹ و ۰/۹۹۹ و y نیز به ترتیب ۰/۰۰۵، ۰/۰۱ و ۰/۰۰۰۵ بدست آمد.

بر اساس خصوصیات نوسان روزانه رواناب حاصل از ذوب برف می‌توان زمان تأخیر را به طور مستقیم از هیدروگراف جریان سالهای گذشته تعیین کرد] (Rango and Martinec 1998) از آنجایی که در این حوزه



شکل ۶- منحنی های فروکش دبی روزانه حوزه خرسان در بازه دویم از انتهای بارش در سال آبی بعد
بعد (پایان دوره فروکش هیدرولوگراف)

هواشناسی و مساحت برفی بدست آمده از اطلاعات ماهواره‌ای در سال آبی ۱۳۷۶-۷۷ جریان روزانه در خروجی حوزه شبیه‌سازی و پیش‌بینی شد.

مقایسه جریان شبیه‌سازی شده با مشاهده‌ای نتایج زیر را نشان می‌دهد:

۱. مدل SRM در حوزه‌های برفگیر و فالقد داده‌ای زمینی و آمار برف‌سنگی با استفاده از سطح تحت پوشش برف که از اطلاعات ماهواره‌ای قبل دسترس هستند، رواناب حاصل از ذوب برف و باران را با دقت بالایی پیش‌بینی می‌کند. علاوه در شبیه‌سازی جریان روزانه کارایی خوبی داشته بطوریکه در حوزه مورد آزمون دبی روزانه را نسبت به مشاهده‌ای در طول یک سال آبی با ضریب همبستگی ۰/۸۸ و حجم جریان روزانه را در طول این سال با اختلاف ۱/۰۳ درصد در حوزه خرسان از زیر حوزه‌های اصلی کارون برآورد کرده است.

۲. داده‌های ماهواره‌ای قابلیت تأمین بخشی از کمبود اطلاعات زمینی برف، مورد نیاز در مدل‌های هیدرولوژیکی را به صورت سری زمانی دارا هستند.

۳. بررسی ۳ واقعه مهم بارش در طول سال ارزیابی، نشان می‌دهد که خطای برآورد دبی و حجم در شرایط باران نسبت به شرایط بدون باران افزایش یافته است.

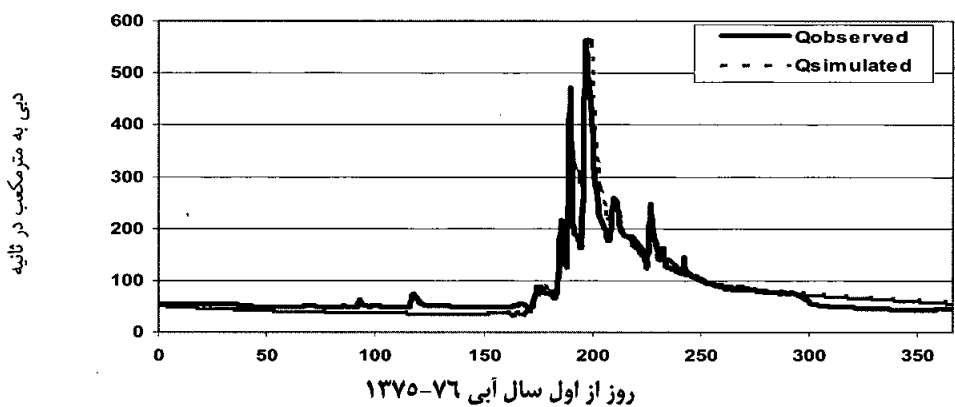
۴. به دلیل این که اطلاعات مورد نیاز برای برآورد پارامترهای فیزیکی متعدد مدل SRM در اغلب حوزه‌ها موجود نیست، لازم است قبل از بکارگیری مدل برای هر حوزه واسنجی پارامترهای مدل انجام گیرد.

۵. ضرایب X و U در رابطه فروکش برای محاسبه پارامتر K مقادیر ثابتی نیستند و بر حسب شرایط تأثیری حوزه در تخلیه جریانهای زیر زمینی، آب حاصل از ذوب برف و روانابهای تأثیری تغییر می‌کنند. هر چند که در منابع علمی موجود برای هر یک از این دو پارامتر تنها

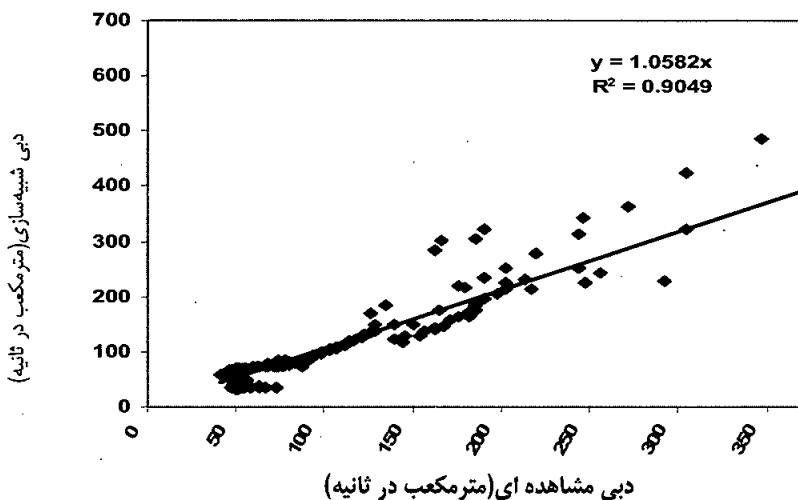
بررسی و مقایسه هیدرولوگرافهای مشاهده‌ای و شبیه‌سازی نشان می‌دهند که اختلاف در دوره‌های سیلابی بیشتر از سایر دوره‌های است. بدین منظور سه واقعه بارش مهم در طول سال که سیلاب بیشتری نسبت به سایر وقایع داشته‌اند انتخاب و مورد بررسی قرار گرفتند. نتایج مقایسه حداقل دبی روزانه و نیز حجم برآوردهای مشاهده‌ای در طول دوره سیلاب با نتایج شبیه‌سازی درجدول (۴) نشان داده شده است. ارقام دبی حداقل روزانه در دو سیلاب با اختلاف فاز یک روزه بوقوع پیوسته و در یک سیلاب همزمان است. همچنین، اختلاف دبی حداقل روزانه سیلابها به ترتیب ۵، ۳۴ و ۳۶ درصد بوده در حالی که اختلاف حجم در طول سیلاب حاصل از این توفانها به ترتیب ۹/۲، ۶/۷ و ۱۱/۹ درصد مقادیر مشاهده‌ای بدست آمده است.

۴- نتیجه‌گیری و پیشنهادها

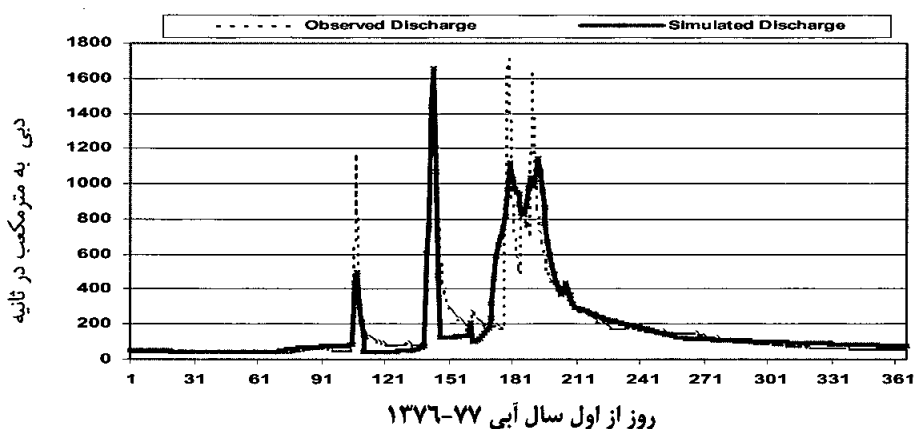
رواناب حاصل از ذوب برف در حوزه‌های دارای برف فصلی که ذوب برف در مواردی با بارش باران نیز همراه است و نیز داده‌های مشاهده‌ای زمینی جریان، پوشش و ذوب برف با کمبود روپراوست شرایط پیچیده‌ای را در شبیه‌سازی ایجاد می‌کند. چنین شرایطی در اکثر حوزه‌های برفگیر و بلویژ در ایران حاکم است. تأمین بخشی از این داده‌ها از اطلاعات ماهواره‌ای و کاربرد آن در مدل‌های هیدرولوژیکی بخشی از این کمبودها را جبران می‌کند. در این تحقیق حوزه خرسان به عنوان حوزه فاقد سری زمانی اطلاعات برف‌سنگی واقع در سرشاخه‌های رودخانه کارون انتخاب شد. بر اساس داده‌های قابل دسترس ماهواره‌ای، سری زمانی پوشش برفی تهیه و به همراه هیدرولوگراف جریان روزانه در خروجی حوزه، درجه حرارت و بارندگی در ایستگاه‌های هواشناسی به عنوان ورودی‌های اصلی مدل ذوب برف در ایستگاه‌های هیدرولوگراف قرارگرفتند. پارامترهای مدل براساس داده‌های SRM مورد استفاده قرار گرفتند. پارامترهای مدل براساس داده‌های مشاهده‌ای عوامل فوق در سطح حوزه در سال آبی ۱۳۷۵-۷۶ تعیین و یا واسنجی شدن و سپس براساس بارندگی و درجه حرارت ایستگاه‌های



شکل ۷- مقایسه دبی روزانه مشاهده‌ای و شبیه‌سازی شده در دوره واسنجی در حوزه خرسان



شکل ۸- نمودار همبستگی دبی روزانه شبیه‌سازی شده و مشاهده‌ای در دوره واسنجی



شکل ۹- مقایسه دبی روزانه مشاهده‌ای و شبیه‌سازی شده در دوره ارزیابی در حوزه خرسان

۶- مراجع

پرهمت، جهانگیر، (۲۰۰۲). مدل توزیعی رواناب حاصل از ذوب برف با استفاده از داده‌های سنجش از دور و GIS. پایان نامه دکترای تخصصی هیدرولوژی و منابع آب، واحد علوم و تحقیقات دانشگاه آزاد اسلامی، تهران، ایران.

پرهمت، جهانگیر، ب، ثقیان و ح، صدقی، (۲۰۰۲). مدل تفکیک برف، ابر و زمین در تصاویر ماهواره‌ای نوا NOAA. مجله پژوهش و سازندگی، جلد ۱۵، شماره ۳ و ۴، ص ۱۵-۲۰.

Baumgartner M. F. and A. Rango, (1991). Snow cover mapping using microcomputer image processing systems, Nordic Hydrology, (22), p 193-210.

Baumgartner M.F., M. Spreafico and H. W. Weiss,(2001). Operational snowmelt runoff forecasting in the Central Asian Mountains, IAHS Pub. 267, p 66-71

Bloschl G., R. Kirmbauer and D. Gutknecht, (1991). Distribution snowmelt simulation in an Alpine catchments, 1. Model Evaluation on the basis of snow cover patterns, Water Resources Research, Vol. 27, No. 12p 3171 - 3179.

Engman, E.T., and R.J., Gurney, (1991). Remote sensing in hydrology, 1st Edit, Chapman and Hall, p 225

Gomez-Landesa E. and A. Rango, (2001). Improved snow cover remote sensing for snowmelt runoff forecasting, IAHS pub. 267, p 61 - 65.

Martinec J. and A Rango, (1986). Parameter values for snowmelt runoff modeling, J. Hydrology, (84), p 197-219.

Mitchel K. and D. R. Dewalle,(1998). Application of snowmelt runoff model using multiple-parameter landscape zones on the Towanda Creek basin, Pennsylvania, Journal of the American Water Resources Association, 34 (2), p 335-346.

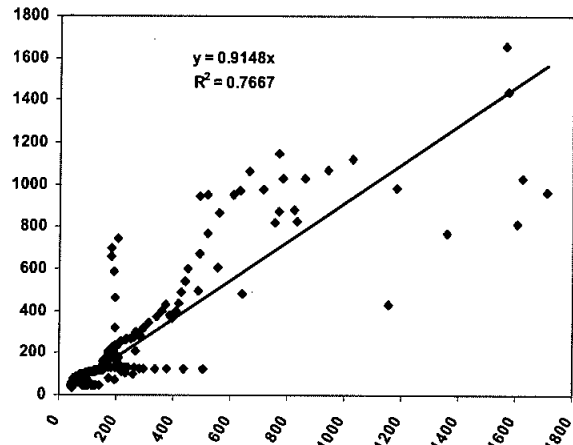
Moussavi M. J. Feyen and G. Wyseure, (1990). Comparison of different structures for a monthly water yield model in seasonally snow-covered mountainous watershed of Iran, Hydrological Sciences Journal,35 (5), p 535-546.

Paul P. R., V. S. Kumar, C. L. V. R. Rao, K. Seidel and H. Heffner,(1993). Operational remote sensing for snow cover and avalanche application in the Himalayas, International symposium operationalization of remote sensing, 19-23 April, ITC Enschede, the Netherlands, p 71 - 79.

Rango A.,(1983). Application of a simple snowmelt-runoff model to large river basins Proceeding of the 51st Annual Western Snow Conference, Vancouver, Washington, p 89 - 99.

Rango A. and V. van Katwijk,(1990). Development and testing of a snowmelt-runoff forecasting technique, Water Resources Bulletin, 26 (1), p 135-144.

Rango A., and J. Martinec,(1998). The Snowmelt Runoff Model (SRM) users' manual version 4, URL: <http://hydrolab.arsusda.gov/pub/srm/srm4.pdf>



شکل ۱۰- نمودار همبستگی دبی روزانه شبیه‌سازی شده و مشاهده‌ای در دوره ارزیابی (سال آبی ۱۳۷۶-۷۷)

جدول ۴- نتایج بررسی دبی حداکثر روزانه و حجم سیلاب در ۳ واقعه مهم سال آبی ۱۳۷۶-۷۷ (دبی به مترمکعب در ثانیه)

تاریخ وقوع	حجم سیلاب			دبی حداکثر روزانه			سیلاب
	نیم صادرات آغازگر	شبیه‌سازی	مشاهده‌ای	نیم خاتمه	شبیه‌سازی	مشاهده‌ای	
۱۱ تا ۱۷ بهمن ۱۳۷۶	۵۲۱	۵۷۳	۵	۱۶۵۴	۱۵۷۴		
۱۱ اسفند ۱۳۷۶ تا ۳ فروردین ۱۳۷۷	۵۰۶	۵۴۳	۲۲	۱۱۲۲	۱۷۰۹		
۱۱ تا ۱۵ فروردین ۱۳۷۷	۵۲۱	۵۵۵	۳۶	۱۰۲۰	۱۶۲۱		

یک مقدار برای هر حوزه پیشنهاد شده است ولی در این تحقیق داده شد که در حوزه مورد مطالعه برای این پارامترها سه دسته مقادیر می‌تواند اختصاص یابد.

۶- با توجه به اینکه مدل برای یک سال آبی نسبتاً «تر» ارزیابی و از پارامترهای واستنجی یک سال نسبتاً «خشک» استفاده شد، به نظر می‌رسد که برای شرایط پیش‌بینی در صورتی که مدل بر اساس شرایط مناسب و استنجی شود، از دقت بالاتری برخوردار خواهد بود. بنابر این بررسی مدل برای پیش‌بینی زمان واقعی پیشنهاد می‌شود.

۵- پی نوشت‌ها:

1. World Meteorological Organization
2. Advanced Very High Resolution Radiometer

Siedel K., J. Martinec, C. Steinmeier and W. Bruesch, (1993)
Remote sensing of snow cover for operational forecasts,
International Symposium on operationalization of remote
sensing, 19 - 23 , April 1993, ITC Enschede, The
Netherlands.

Sorman U., E. Uzunoglu and H. L. Kaya(2001). Application
of the SRM and SLURP models in eastern Turkey using
remote sensing and Geographical Information System,
IAHS Pub. 267, p 81 - 92.

US Army Corp of Engineer,(1998). Engineering and design
runoff from snowmelt, Pub. No. 1110 -2 - 1406.

WMO, 1986. Intercomparison of models of snowmelt runoff,
Operational Hydrological Report 23 WMO, Geneva,
Switzerland.